

$$\hat{H} = -J \sum_j \hat{\sigma}_j^z \hat{\sigma}_{j+1}^z - h \sum_j \hat{\sigma}_j^x - \lambda \sum_j \hat{\sigma}_j^z$$

• base computazionale

$$\mathcal{H} = \mathbb{C}^{2^N}$$

$$\dim \mathcal{H} = 2^N$$

$$i = 1, 2, 3, \dots, 2^N$$

↓ codificare in binario ($i-1$)

0 e 1
(↑) (↓)
↑ ↑
orientazione
degli spin
lungo z

$$\hat{\sigma}^z |\uparrow\rangle = +1 |\uparrow\rangle$$

$$\hat{\sigma}^z |\downarrow\rangle = -1 |\downarrow\rangle$$

$$\hat{\sigma}^z = \begin{pmatrix} 1 & 0 \\ 0 & -1 \end{pmatrix}$$

$$i=1 \rightarrow 0 \rightarrow 0 | 0 | 0$$

$$i=2 \rightarrow 1 \rightarrow 0 | 0 | 1$$

$$i=3 \rightarrow 10 \rightarrow 0 | 1 | 0$$

$$i=4 \rightarrow 11 \rightarrow 0 | 1 | 1$$

$$i=5 \rightarrow 100 \rightarrow 1 | 0 | 0$$

$$i=6 \rightarrow 101 \rightarrow 1 | 0 | 1$$

$$i=7 \rightarrow 110 \rightarrow 1 | 1 | 0$$

$$i=8 \rightarrow 111 \rightarrow 1 | 1 | 1$$

3^o spin
2^o spin
1^o spin

$$|i=7\rangle \equiv |\uparrow, \uparrow, \uparrow\rangle$$

$$|i=2\rangle \equiv |\uparrow, \uparrow, \downarrow\rangle$$

$$|i=3\rangle \equiv |\uparrow, \downarrow, \uparrow\rangle$$

$$\vdots$$

$$\vdots$$

$$\vdots$$

$$|i=8\rangle \equiv |\downarrow, \downarrow, \downarrow\rangle$$

→ campo longitudinale:

$$\bullet \hat{\sigma}_1^z |i=1\rangle \equiv \hat{\sigma}_1^z |\uparrow, \uparrow, \uparrow\rangle = +1 |\uparrow, \uparrow, \uparrow\rangle = |i=1\rangle$$

$$\Rightarrow \langle i=1 | \hat{\sigma}_1^z | i=1 \rangle = +1$$

$$\bullet \hat{\sigma}_3^z |i=6\rangle \equiv \hat{\sigma}_3^z |\downarrow, \uparrow, \downarrow\rangle = -1 |\downarrow, \uparrow, \downarrow\rangle = -|i=6\rangle$$

$$\Rightarrow \langle i=6 | \hat{\sigma}_3^z | i=6 \rangle = -1$$

$$\hat{\sigma}_3^z = \hat{1} \otimes \hat{1} \otimes \hat{\sigma}^z$$

elementi diagonali

→ accoppiamento:

$$\bullet \hat{\sigma}_1^z \hat{\sigma}_2^z |i=6\rangle \equiv \hat{\sigma}_1^z \hat{\sigma}_2^z |\downarrow, \uparrow, \downarrow\rangle = -1 |\downarrow, \uparrow, \downarrow\rangle = -|i=6\rangle$$

$$\Rightarrow \langle i=6 | \hat{\sigma}_1^z \hat{\sigma}_2^z | i=6 \rangle = -1$$

elemento diagonale

→ campo trasverso:

$$\bullet \hat{\sigma}_1^x |i=1\rangle \equiv \hat{\sigma}_1^x |\uparrow, \uparrow, \uparrow\rangle = |\downarrow, \uparrow, \uparrow\rangle = |i=5\rangle$$

$$\Rightarrow \langle i=5 | \hat{\sigma}_1^x | i=1 \rangle = +1$$

elemento NON diagonale

■ I fase: costruzione della matrice
Corrispondente ad \hat{H} ($2^N \times 2^N$)

27/10/2020

■ II fase: diagonalizzazione di \hat{H}

diag. esatte.

//

diag. esatte elemento trasverso lo stato fondamentale

"force brute"
 \rightarrow trovo tutti autovettori
 e gli autovallori
 $N \sim O(N^2)$

(eventualmente pochi altri autovallori e autovettori
 "vicini" a quello fondamentale)
 più veloce (meno risorse) \otimes
 $N \sim O(N^2)$

\otimes Lanczos (~ 1960) ricerca di tipo variazionale del grand state

① • prendiamo uno stato "di partenza" $|\psi_0\rangle$ (es. stato random)
 $|\psi_0\rangle \in \mathcal{H}$ dove $\mathcal{H} = \mathbb{C}^{2^N}$ (N spin)
 $|\psi_0\rangle = \sum_n c_n |n\rangle$ dove c_n sono scelti in modo casuale

② • costruisco un secondo stato a partire da $|\psi_0\rangle$
 es. $\hat{K} |\psi_0\rangle = |\tilde{\psi}_1\rangle$ \hat{K} è un "generico" operatore

③ • orto normalizzo $|\tilde{\psi}_1\rangle$ rispetto a $|\psi_0\rangle$
 $|\psi_1\rangle = \frac{\hat{K} - \langle \hat{K} \rangle_0}{\sqrt{\langle \hat{K}^\dagger \hat{K} \rangle_0 - |\langle \hat{K} \rangle_0|^2}} |\tilde{\psi}_1\rangle$
 \downarrow
 Gram-Schmidt
 $\langle \hat{A} \rangle_0 = \langle \psi_0 | \hat{A} | \psi_0 \rangle$
 per costruzione $\langle \psi_1 | \psi_0 \rangle = 0$
 $|\langle \psi_1 | \psi_1 \rangle|^2 = 1$

④ • costruisco $\mathcal{H}_1 = \text{span}(|\psi_0\rangle, |\psi_1\rangle)$
 diagonalizzo l'Hamiltoniana \hat{H} su \mathcal{H}_1 e trovo il grand state lì

$$\hat{H}_1 = \begin{pmatrix} \langle \psi_0 | \hat{H} | \psi_0 \rangle & \langle \psi_1 | \hat{H} | \psi_0 \rangle \\ \langle \psi_0 | \hat{H} | \psi_1 \rangle & \langle \psi_1 | \hat{H} | \psi_1 \rangle \end{pmatrix} \quad \text{Matrice } 2 \times 2$$

\hookrightarrow trovo lo stato fondamentale $|\psi_0^{(1)}\rangle = \alpha |\psi_0\rangle + \beta |\psi_1\rangle$

⑤ • itero la procedura sostituendo $|\psi_0\rangle$ con $|\psi_0^{(1)}\rangle$
 da ②

$$\langle \psi_0 | \hat{H} | \psi_0 \rangle = E_0$$

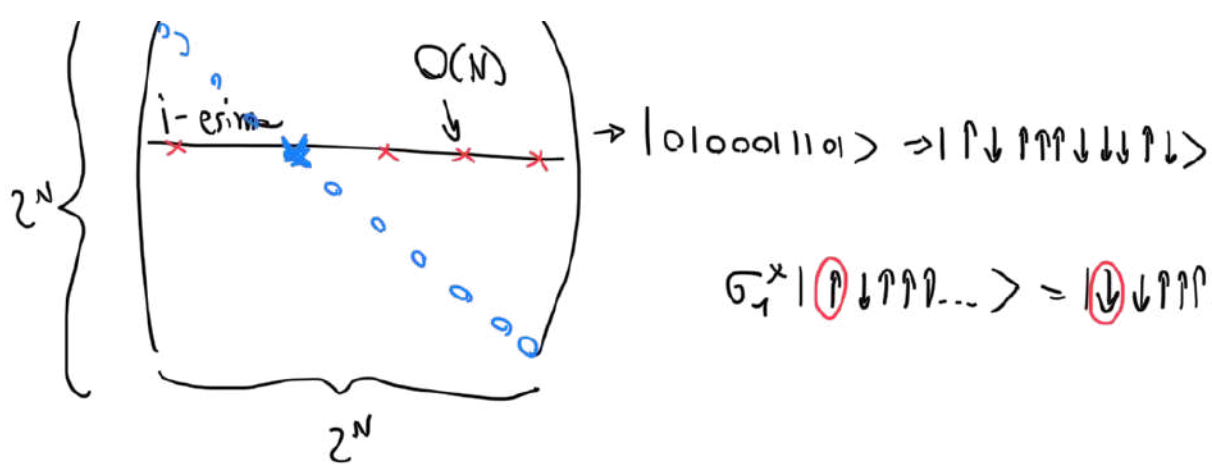
$$\langle \psi_0^{(n)} | \hat{H} | \psi_0^{(n)} \rangle \leq E_0$$

o me non serve costruire tutta \hat{H} ($2^N \times 2^N$)

ma mi basta saper fare $\hat{H} |\psi\rangle = |\phi\rangle$

se \hat{H} è sparso (piene di zeri)

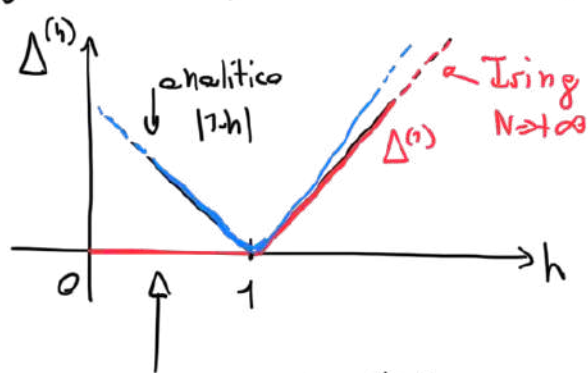
\Rightarrow è molto più rapida di immagazzinare tutta la
 matrice H ($2^N \times 2^N$)



$\sigma_1^x |\uparrow\downarrow\uparrow\uparrow\downarrow\downarrow\uparrow\downarrow\rangle = |\downarrow\downarrow\uparrow\uparrow\downarrow\downarrow\rangle$ elemento fuori diagonale (uno per ogni spin)

III fase: misure di osservabili / quantità fisicamente interessanti

• energie - primi livelli energetici



$$\hat{H} = -J \sum_j \hat{\sigma}_j^z \hat{\sigma}_{j+1}^z + h \sum_j \hat{\sigma}_j^x$$

$\Delta^{(1)} \equiv E_1 - E_0$
gap tra energia del ground state (E_0) e 1° stato eccitato (E_1)

$$\Delta^{(2)} \equiv E_2 - E_0$$

$$h < 1 \Rightarrow \Delta^{(1)} \xrightarrow{N \rightarrow \infty} 0$$

degenerazione dello stato fondamentale per $|h| < 1$

NON si vede analiticamente

Se fisso le condizioni al contorno per i fermioni

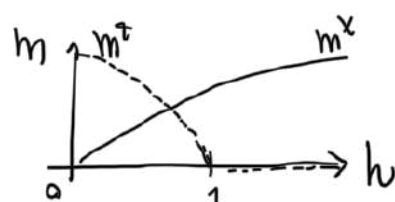
• $m^z = \langle \psi_0 | \hat{\sigma}_1^z | \psi_0 \rangle$ e $m^x = \langle \psi_0 | \hat{\sigma}_1^x | \psi_0 \rangle$

\uparrow
 $m^z = 0$

numericamente

è dovuto alla simmetria delle "fase ferromagnetica"

\uparrow
Va rotta!



$$\hat{H} = - \sum_j \hat{\sigma}_j^z \hat{\sigma}_{j+1}^z - h \sum_j \hat{\sigma}_j^x \left[\underbrace{-\lambda \sum_i \hat{\sigma}_i^z}_{\text{non commuta con } \hat{Z}} \right] \quad \hat{Z} = \prod_{j=1}^N \hat{\sigma}_j^x \quad (\text{simmetria } \pi_z)$$

$\underline{[\hat{H}, \hat{Z}] = 0}$ autovaleori +1 o -1

$|\psi_1\rangle$ e $|\psi_2\rangle$ sono autostati di \hat{H} che generano il sottospazio del ground state (degenerazione 2, nel limite termodinamico $N \rightarrow \infty$)

$$|\psi_1\rangle = \sum_n c_n |n\rangle$$

dove $|\bar{n}\rangle$ si ottiene da $|n\rangle$ invertendo tutti gli spin

$$|\psi_2\rangle = \sum_n c_n |\bar{n}\rangle$$

$$|n\rangle = |\uparrow\uparrow\downarrow\downarrow\uparrow\downarrow\rangle \Rightarrow |\bar{n}\rangle = |\downarrow\downarrow\uparrow\uparrow\downarrow\uparrow\rangle$$

$$\langle \psi_1 | \hat{H} | \psi_1 \rangle \approx \langle \psi_2 | \hat{H} | \psi_2 \rangle$$

(= vale se $\hbar=0$, oppure nel limite $N \rightarrow +\infty$)

- immaginiamo di calcolare $\langle \psi | \hat{M}^z | \psi \rangle$ dove $\hat{M}^z = \sum_{j=1}^N \hat{\sigma}_j^z$

$$\langle \psi | \hat{M}^z | \psi \rangle = \left(\langle \psi_1 | \alpha^* + \langle \psi_1 | \beta^* \right) \left(\sum_j \hat{\sigma}_j^z \right) \left(\alpha | \psi_1 \rangle + \beta | \psi_2 \rangle \right) \quad \left[| \psi \rangle = \alpha | \psi_1 \rangle + \beta | \psi_2 \rangle \right]$$

$$= \sum_n |\alpha|^2 |c_n|^2 \langle n | \sum_j \hat{\sigma}_j^z | n \rangle + |\beta|^2 |c_n|^2 \langle \bar{n} | \sum_j \hat{\sigma}_j^z | \bar{n} \rangle +$$

$$+ \sum_n \alpha^* \beta |c_n|^2 \langle n | \sum_j \hat{\sigma}_j^z | \bar{n} \rangle + \text{h.c.}$$

perché $\langle n | \bar{n} \rangle = 0$ e $\hat{\sigma}_j^z$ è diagonale

$$\langle n | \sum_j \hat{\sigma}_j^z | n \rangle = - \langle \bar{n} | \sum_j \hat{\sigma}_j^z | \bar{n} \rangle$$

i due valori di aspettazione sono opposti

$$\Rightarrow \langle \psi | \hat{M}^z | \psi \rangle = \sum_n |c_n|^2 \langle n | \sum_j \hat{\sigma}_j^z | n \rangle (|\alpha|^2 - |\beta|^2)$$

$$\text{se } \alpha = \pm \beta \Rightarrow \langle \psi | \hat{M}^z | \psi \rangle = 0$$

$$\underline{\alpha = \beta} \Rightarrow | \psi_s \rangle = \frac{1}{\sqrt{2}} (| \psi_1 \rangle + | \psi_2 \rangle) = \frac{1}{\sqrt{2}} \sum_n |c_n|^2 (| n \rangle + | \bar{n} \rangle)$$

$$\underline{\hat{Z} | \psi_s \rangle} = \frac{1}{\sqrt{2}} \sum_n |c_n|^2 (| \bar{n} \rangle + | n \rangle) = \underline{| \psi_s \rangle}$$

$$\begin{aligned} \hat{Z} | n \rangle &= | \bar{n} \rangle \\ \hat{Z} | \bar{n} \rangle &= | n \rangle \end{aligned}$$

$$\underline{\alpha = -\beta} \Rightarrow | \tilde{\psi}_A \rangle = \frac{1}{\sqrt{2}} (| \psi_1 \rangle - | \psi_2 \rangle)$$

$$\underline{\hat{Z} | \tilde{\psi}_A \rangle} = - | \tilde{\psi}_A \rangle$$

antisimmetrico

- numericamente $\langle \psi | \hat{M}^z | \psi \rangle = 0$ dove $| \psi \rangle$ è lo stato fondamentale

$$\hookrightarrow \text{si può fare: } \tilde{M}^z = \sum_n |d_n|^2 \left| \langle n | \sum_j \hat{\sigma}_j^z | n \rangle \right| \quad | \psi \rangle = \sum_n d_n | n \rangle$$

prendere il modulo!

$$\langle \psi_s | \tilde{M}^z | \psi_s \rangle = \sum_n |c_n|^2 |\alpha|^2 \left| \langle n | \sum_j \hat{\sigma}_j^z | n \rangle \right| + |c_n|^2 |\beta|^2 \left| \langle \bar{n} | \sum_j \hat{\sigma}_j^z | \bar{n} \rangle \right| =$$

se prendo i moduli, sono uguali

$$= \sum_n |c_n|^2 \left| \langle n | \sum_j \hat{\sigma}_j^z | n \rangle \right| \underbrace{(|\alpha|^2 + |\beta|^2)}_1 = \sum_n |c_n|^2 \left| \langle n | \sum_j \hat{\sigma}_j^z | n \rangle \right|$$

Caso facile:

$$\underline{\hbar=0} \Rightarrow$$

$$\hat{H} = \sum_j \hat{\sigma}_j^z \hat{\sigma}_{j+1}^z$$

$$| \psi_1 \rangle = | \uparrow \uparrow \dots \uparrow \rangle$$

$$| \psi_2 \rangle = | \downarrow \downarrow \dots \downarrow \rangle$$

$$\hat{Z} = \prod_{j=1}^N \hat{\sigma}_j^x$$

$$|\psi_A\rangle = \frac{1}{\sqrt{2}}(|\uparrow\downarrow\rangle - |\downarrow\uparrow\rangle) \quad |\psi_S\rangle = \frac{1}{\sqrt{2}}(|\uparrow\downarrow\rangle + |\downarrow\uparrow\rangle)$$

sono i due stati
in competizione,
per la fisica
a basse energie

$$\langle \psi_A | \hat{M}^z | \psi_A \rangle = \langle \psi_S | \hat{M}^z | \psi_S \rangle = 0 \quad \text{ma} \quad \langle \psi_1 | \hat{M}^z | \psi_1 \rangle = 1; \quad \langle \psi_2 | \hat{M}^z | \psi_2 \rangle = -1$$

$$\rightarrow \hat{M}^z = \sum_n |c_n| \cdot |\langle n | \sum_j \hat{\sigma}_j^z | n \rangle| = \pm 1$$

28/10/2020

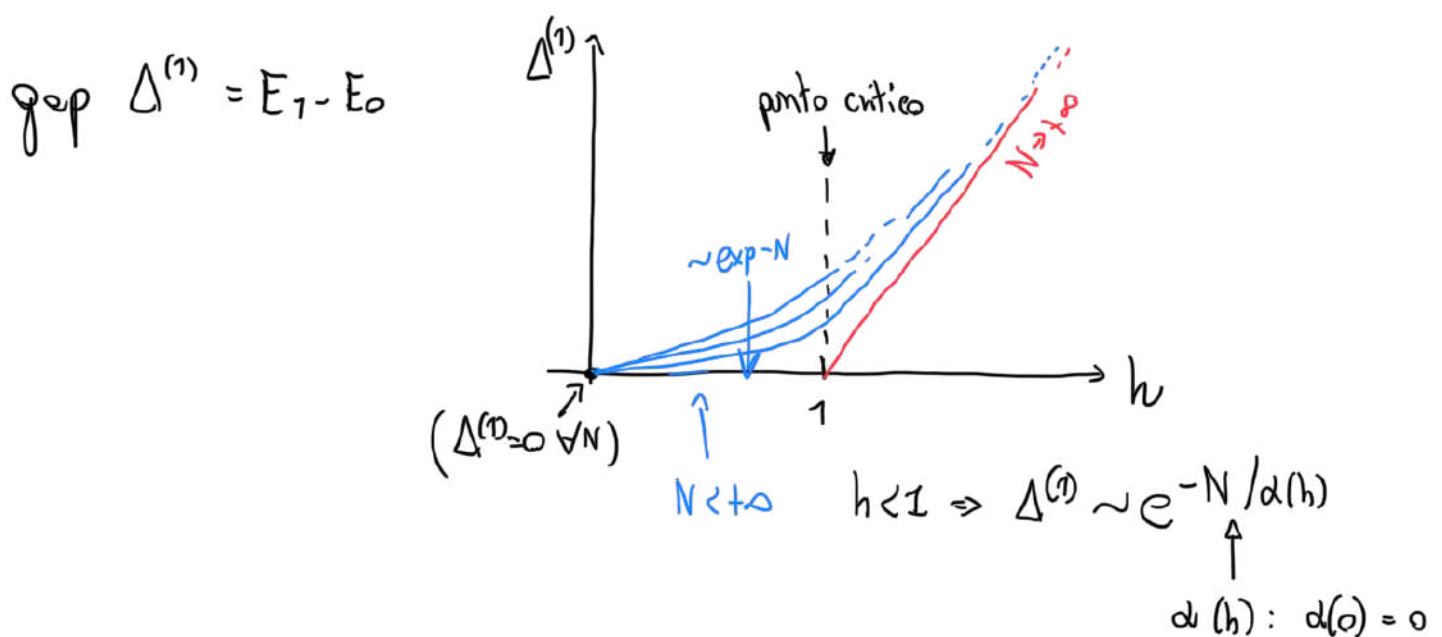
- numericamente (2):
invece di calcolare $M^z = \langle \psi | \sum_j \hat{\sigma}_j^z | \psi \rangle$ (=0 per ragioni di simmetria)

$$C^{zz}(\tau) = \langle \psi | \hat{\sigma}_j^z \hat{\sigma}_{j+\tau}^z | \psi \rangle \quad \text{funzione di correlazione della magnetizzazione longitudinale}$$

$$\langle \psi | \hat{\sigma}_j^z \hat{\sigma}_{j+\tau}^z | \psi \rangle \xrightarrow{\tau \rightarrow \infty} \langle \psi | \hat{\sigma}_j^z | \psi \rangle \langle \psi | \hat{\sigma}_{j+\tau}^z | \psi \rangle \sim (M^z)^2$$

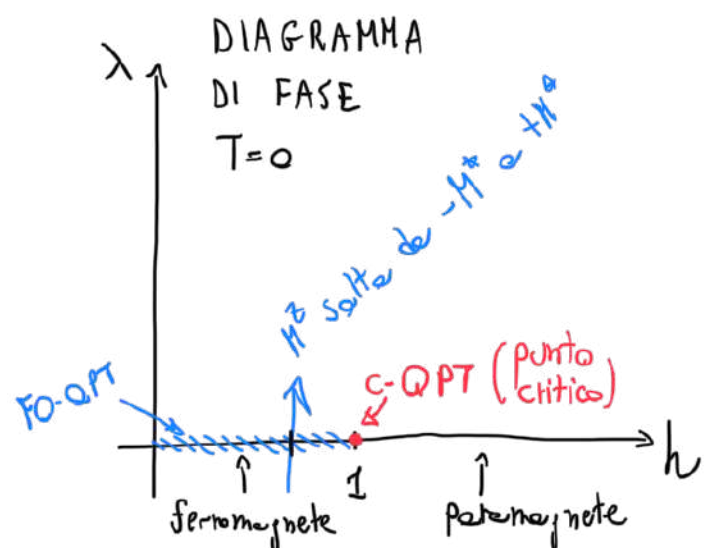
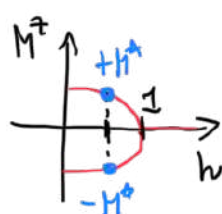
$$\frac{1}{N} M^z \sim \left[\lim_{\tau \rightarrow \infty} C^{zz}(\tau) \right]^{1/2}$$

Poco utile se N simulabile è piccolo
(con diag. esatte non va bene...)



$$\hat{H} = - \sum_j \hat{\sigma}_j^z \hat{\sigma}_{j+1}^z - h \sum_j \hat{\sigma}_j^x - \lambda \sum_j \hat{\sigma}_j^z$$

- a Temperature $T=0$
(stato fondamentale)



il punto critico ($h=1, \lambda=0$)
è associato a esponenti
critici universali al modello

$$\lim_{h \rightarrow 0} \lim_{N \rightarrow \infty} \langle \psi | \hat{\sigma}_j^z | \psi \rangle = M^z$$

C-QPT: quantum phase

corrispondente classico
in dimensione $d+1=2$

transition (continuous)

FQ-QPT: quantum phase transition (1st order)

(quantistici (d) -dimensionali
 \Updownarrow
classici $(d+1)$ -dimensionali)

• finite-size scaling (come classico $T \rightarrow h$)

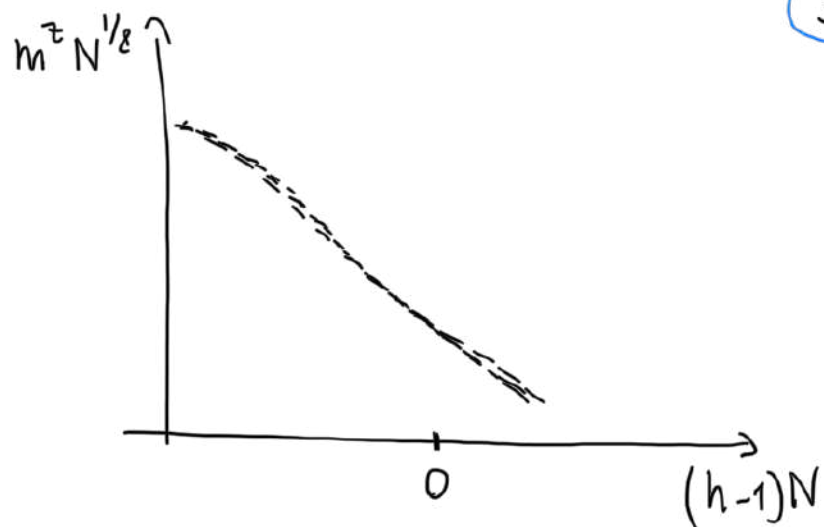
$$m^z(h, N) = N^{-\beta/\nu} \mathcal{M}[(h-1)N^{1/\nu}] \quad (\lambda=0)$$

$$\beta=1/8; \nu=1 \Rightarrow \underline{m^z(h, N) = N^{-1/8} \mathcal{M}[(h-1)N]}$$

$$\chi^z(h, N) = \frac{\partial m}{\partial h} \quad \underline{\chi^z(h, N) = N^{\gamma/\nu} \tilde{\chi}[(h-1)N^{1/\nu}]}$$

$$\gamma = 7/4$$

3/11/2020



$$\hat{H} = -\sum_j \hat{\sigma}_j^z \hat{\sigma}_{j+1}^z - h \sum_j \hat{\sigma}_j^x - \lambda \sum_j \hat{\sigma}_j^z$$

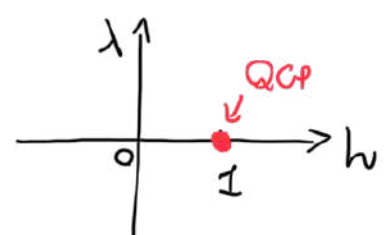
$$\chi^z = \left. \frac{\partial m^z}{\partial \lambda} \right|_{\lambda=0}$$

"temperature classical"

$$\chi^z \cdot N^{\gamma/\nu} = \tilde{\chi}(\lambda N^{\gamma/\nu}) \quad \gamma = 15/8$$

$$\begin{cases} \tilde{h} = (h - h_c) N^{\gamma_h} & \text{con } \gamma_h = 1 \\ \tilde{\lambda} = (\lambda - \lambda_c) N^{\gamma_\lambda} & \text{con } \gamma_\lambda = \frac{15}{8} \end{cases}$$

$$(h_c = 1) \text{ e } (\lambda_c = 0)$$



$$\chi^z \sim N^{-\gamma_h} \tilde{\chi}(\tilde{h})$$

$$\chi^z \sim N^{-\gamma_h} \tilde{\chi}(\tilde{\lambda})$$

$$\chi^z = \left. \frac{\partial m^z}{\partial \lambda} \right|_{\lambda \rightarrow 0} = \frac{m^z(\lambda_2) - m^z(\lambda_1)}{\lambda_2 - \lambda_1}$$

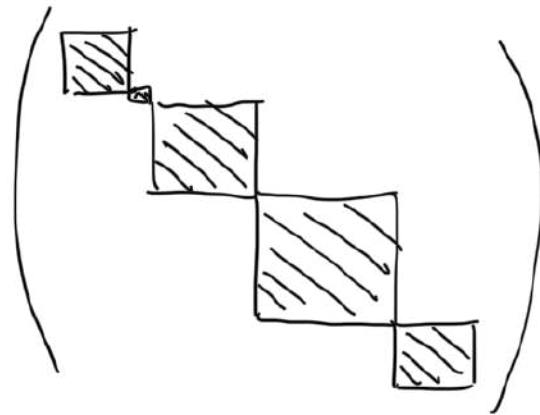
$$\lambda_1, \lambda_2 \sim O(10^{-2}/10^{-3})$$

SIMMETRIE:
$$\hat{H} = - \sum_j \left(\hat{\sigma}_j^x \hat{\sigma}_{j+1}^x + \hat{\sigma}_j^y \hat{\sigma}_{j+1}^y + \Delta \hat{\sigma}_j^z \hat{\sigma}_{j+1}^z \right) + h \sum_j \hat{\sigma}_j^z$$

XXZ - in campo magnetico

$$\hat{M}^z = \sum_j \hat{\sigma}_j^z \Rightarrow [\hat{M}^z, \hat{H}] = 0$$

se $[\hat{H}, \hat{M}^z] = 0 \Rightarrow \hat{H}$ è diagonale a blocchi sulle basi computazionali



$\dim \mathcal{H} = 2^N$

$\dim(\text{blocco più grande}) = \binom{N}{N/2} = \binom{N}{\frac{N}{2} \text{ spin } \uparrow} \text{ e } \binom{N}{\frac{N}{2} \text{ spin } \downarrow}$

es. $N=10 \Rightarrow 2^{10} = 1024$; $\binom{10}{5} = 252$

$N=16 \Rightarrow 2^{16} = 65536$; $\binom{16}{8} = 12870$

Implementazione della DINAMICA dopo un quench

$$|\psi(t)\rangle = e^{-i\hat{H}t} |\psi(0)\rangle \quad \text{dove } |\psi(0)\rangle \text{ non è autostato di } \hat{H}$$

eq. di Schrödinger è lineare

① decomposizione di Suzuki-Trotter

$\hat{U} = e^{-i\hat{H}t}$ operatore di evoluzione temporale

(metodo zero è calcolare esplicitamente \hat{U} , diagonalizzando \hat{H})

↳ oppure:
$$\hat{U} = \sum_{n=0}^{\infty} \frac{(-i\hat{H}t)^n}{n!}$$

↳ $\hat{H} = \hat{H}_a + \hat{H}_b$ dove $[\hat{H}_a, \hat{H}_b] \neq 0$

(BCH)

\Rightarrow posso utilizzare lo sviluppo di Baker-Campbell-Hausdorff

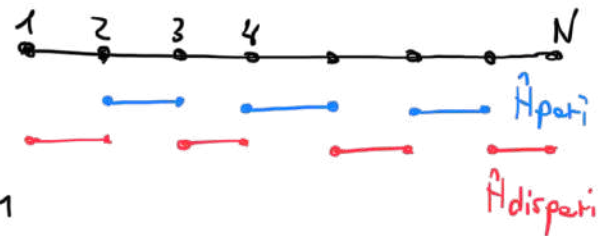
$$e^{\hat{A}} e^{\hat{B}} = e^{\hat{Z}} \quad \text{con} \quad \hat{Z} = \hat{A} + \hat{B} + \frac{1}{2} [\hat{A}, \hat{B}] + \frac{1}{12} \{ [\hat{A}, [\hat{A}, \hat{B}]] + [\hat{B}, [\hat{B}, \hat{A}]] \} + \dots$$

se $[\hat{A}, \hat{B}] = 0 \Rightarrow e^{\hat{A}} e^{\hat{B}} = e^{\hat{A} + \hat{B}}$

nel nostro caso abbiamo: $\hat{H} = \sum_{i=1}^N \hat{h}_{i,i+1}$

$$\hat{H} = \hat{H}_p + \hat{H}_d$$

$$\hat{H}_p = \sum_{i \in \text{pari}} \hat{h}_{i,i+1} \quad ; \quad \hat{H}_d = \sum_{i \in \text{dispari}} \hat{h}_{i,i+1}$$



$[\hat{H}_p, \hat{H}_d] \neq 0$ però tutti i "pezzi" in \hat{H}_p (o in \hat{H}_d) commutano tra loro!

$$e^{-i\hat{H}_p t} = \prod_{i \in \text{pari}} e^{-i\hat{h}_{i,i+1} t} \quad \begin{array}{l} \text{agisce solo su 2 siti} \\ \Rightarrow \text{facile da implementare numericamente} \end{array}$$

(e analogo per \hat{H}_d)

$$\hat{U}(t) = e^{-i\hat{H}t} = (e^{-i\hat{H}dt})^{t/dt} \quad \text{con } dt \ll 1 \quad (\text{piccolo})$$

$e^{-i\hat{H}dt}$ si può trattare con le formule BCH

$$\text{BCH: } e^{\tau(\hat{A}+\hat{B})} = \prod_{i=1}^K e^{c_i \tau \hat{A}} e^{d_i \tau \hat{B}} + o(\tau^N)$$

$K=K(n)$ con n : ordine dello sviluppo ; $\{c_i\}, \{d_i\} \in \mathbb{R}$

$$(n=1) \quad K=1 ; \quad c_1 = d_1 = 1 \quad \rightarrow e^{\tau(\hat{A}+\hat{B})} = e^{\tau \hat{A}} e^{\tau \hat{B}} + o(\tau)$$

$$(n=2) \quad K=2 ; \quad c_1 = c_2 = 1/2 ; \quad d_1 = 1, d_2 = 0$$

$$\rightarrow e^{\tau(\hat{A}+\hat{B})} = e^{\frac{1}{2}\tau \hat{A}} e^{\tau \hat{B}} e^{\frac{1}{2}\tau \hat{A}} + o(\tau^2)$$

$$(n=4) \quad K=4 ; \quad c_1 = c_4 = (\tau(\tau - \tau^{1/3}))^{-1} ; \quad c_2 = c_3 = (1 - \tau^{1/3})c_1$$

$$d_1 = d_3 = \tau c_1 ; \quad d_2 = -\tau^{4/3} c_1 ; \quad d_4 = 0$$

es. $(n=2)$

$$\hat{U} = e^{-i\hat{H}t} = (e^{-i\hat{H}dt})^{t/dt} \simeq \left[e^{-\frac{1}{2}i dt \hat{H}_p} e^{-i dt \hat{H}_d} e^{-\frac{1}{2}i dt \hat{H}_p} \right]^{t/dt}$$

$$\simeq \left[\left(\prod e^{-\frac{1}{2}i dt \hat{h}_{j,j+1}} \right) \left(\prod e^{-i dt \hat{h}_{j,j+1}} \right) \left(\prod e^{-\frac{1}{2}i dt \hat{h}_{j,j+1}} \right) \right]^{t/dt}$$

→ Suzuki-Trotter al II ordine

② metodo di Runge-Kutta (integrazione numerica di equazioni differenziali)

eq. di Schrödinger:

$$i \frac{d|\psi\rangle}{dt} = \hat{H}|\psi\rangle$$

$$|\psi(t)\rangle \leftarrow |\psi(0)\rangle$$

$$\begin{cases} f(t, |\psi\rangle) = -i \hat{H}(t) |\psi(t)\rangle \\ y_n = |\psi(t_n)\rangle \end{cases}$$

$$\begin{cases} y'(t) = f(t, y(t)) \\ y(t_0) = y_0 \end{cases}$$

$$t \in [t_0, t_f]$$

↑
campionare l'intervallo $t_j = t_0 + jh$
($h = (t_f - t_0)/n$)

Runge-Kutta IV ordine:

$$y_{n+1} = y_n + \frac{h}{6} (k_1 + 2k_2 + 2k_3 + k_4)$$

$$t_{n+1} = t_n + h$$

$$e \begin{cases} k_1 = f(t_n, y_n) \\ k_2 = f(t_n + h/2, y_n + k_1 h/2) \\ k_3 = f(t_n + h/2, y_n + k_2 h/2) \\ k_4 = f(t_n + h, y_n + k_3 h) \end{cases}$$

per implementare RK
mi serve saper fare

$$|\phi\rangle \rightarrow \hat{H}|\phi\rangle$$

(stesso passo
richiesto da Lanczos)

STATI TERMICI

5/11/2020

Evoluzione temporale in tempo immaginario (medie termiche)

ρ matrice densità

"Purificazione"

allargare lo spazio di Hilbert \mathcal{H} del sistema S
introducendo uno spazio ausiliario (ancillare) A

$$\rho_\beta = \frac{1}{Z} e^{-\beta \hat{H}} \quad Z = \text{Tr}[e^{-\beta \hat{H}}]$$

($\dim A = \dim S$)

$$= \frac{1}{Z} e^{-\frac{\beta}{2} \hat{H}} \mathbb{1} e^{-\frac{\beta}{2} \hat{H}} \quad (\mathbb{1} = Z(\beta=0) \cdot \rho_0)$$

↑ temperatura infinita
 $\rho_0 = \text{Tr}_A |\psi_0\rangle \langle \psi_0|$

$$|\psi_0\rangle \in \mathcal{H}_S \otimes \mathcal{H}_A$$

$$\Rightarrow \rho_\beta = \frac{1}{Z(\beta)} e^{-\frac{\beta}{2} \hat{H}} \left\{ Z(\beta=0) \cdot \rho_0 \right\} e^{-\frac{\beta}{2} \hat{H}} = \frac{Z(0)}{Z(\beta)} \left\{ e^{-\frac{\beta}{2} \hat{H}} \text{Tr}_A [|\psi_0\rangle \langle \psi_0|] e^{-\frac{\beta}{2} \hat{H}} \right\}$$

$$\text{definisco } |\psi(\beta)\rangle = e^{-\beta \hat{H}/2} |\psi_0\rangle$$

evoluzione in tempo

Immaginario ($t \rightarrow -i\beta$)

$$\rho_\beta = \frac{Z(\beta)}{Z(\beta)} \text{Tr}_A [|\psi(\beta)\rangle\langle\psi(\beta)|]$$

\hat{H} sta in \mathcal{H}_S
quindi posso portare
 $e^{-\beta\hat{H}}$ dentro $\text{Tr}_A[...]$

$$\langle O \rangle_\beta = \text{Tr}_S [\rho_\beta \hat{O}] =$$

$$= \frac{Z(\beta)}{Z(\beta)} \text{Tr}_S [\text{Tr}_A [|\psi(\beta)\rangle\langle\psi(\beta)|] \hat{O}] = \frac{Z(\beta)}{Z(\beta)} \langle\psi(\beta)| \hat{O}_S \otimes \mathbb{I}_A |\psi(\beta)\rangle$$

$$1 = \langle 1 \rangle_\beta = \text{Tr}_S [\rho_\beta] = \frac{Z(\beta)}{Z(\beta)} \text{Tr}_S [\text{Tr}_A [|\psi(\beta)\rangle\langle\psi(\beta)|]] = \frac{Z(\beta)}{Z(\beta)} \langle\psi(\beta)|\psi(\beta)\rangle$$

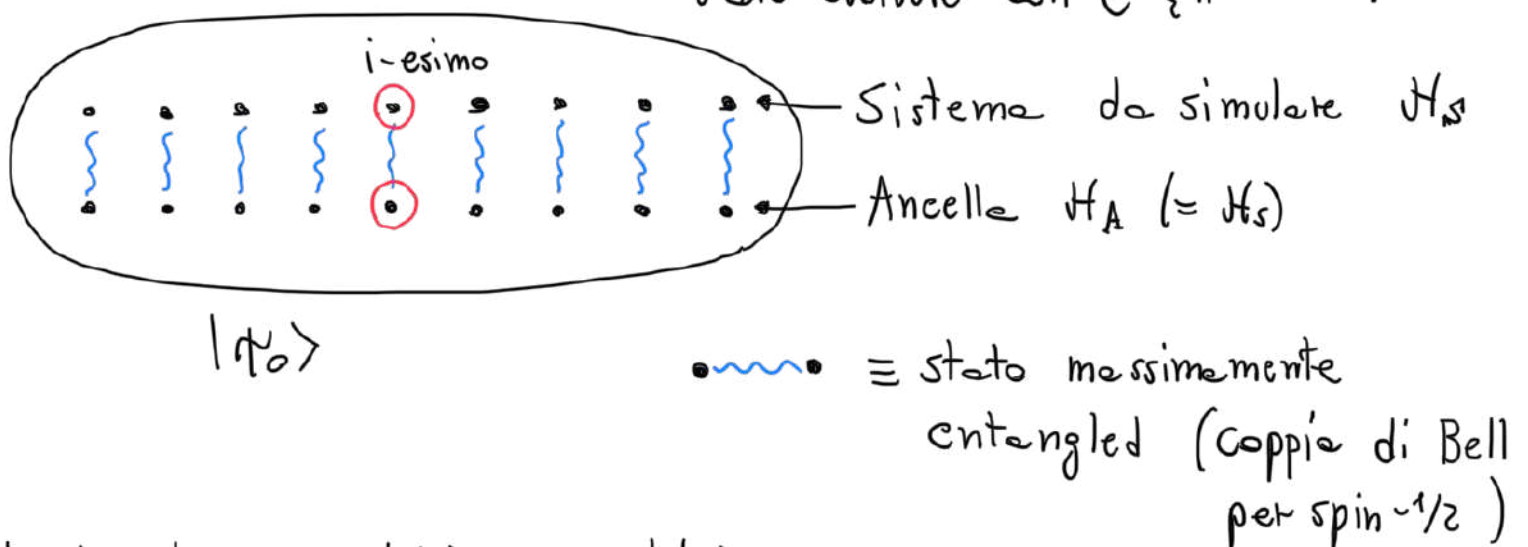
$$\hookrightarrow \frac{Z(\beta)}{Z(\beta)} = \frac{1}{\langle\psi(\beta)|\psi(\beta)\rangle}$$

$$\rightarrow \langle O \rangle_\beta = \frac{\langle\psi(\beta)| \hat{O}_S \otimes \mathbb{I}_A |\psi(\beta)\rangle}{\langle\psi(\beta)|\psi(\beta)\rangle} \quad \text{media termica a temperatura } T = \frac{1}{k_B \beta}$$

stato a temperature infinite $\rho_0 = \frac{1}{d} \mathbb{I}$ (d : dimensione di \mathcal{H}_S)

$$\rho_0 = \text{Tr}_A |\psi_0\rangle\langle\psi_0|$$

Come faccio a trovare $|\psi_0\rangle$
lo stato di partenza dal quale
fare evolvere con $e^{-\beta\hat{H}}$?



$$|\psi_0\rangle = |\phi_0\rangle_1 \otimes |\phi_0\rangle_2 \otimes \dots \otimes |\phi_0\rangle_N$$

1° sito 2° sito N° sito

$$|\phi_0\rangle \equiv \begin{matrix} S \\ \vdots \\ A \end{matrix} \quad \text{Tr}_A |\phi_0\rangle\langle\phi_0| = \mathbb{I}_S \quad \text{se } S \text{ ed } A \text{ sono massimamente entangled (per definizione)}$$

$$\left[\begin{aligned} \text{es: per spin-1/2} \quad |\phi_0\rangle &= \frac{1}{\sqrt{2}} (|\uparrow\rangle_S \otimes |\uparrow\rangle_A + |\downarrow\rangle_S \otimes |\downarrow\rangle_A) \\ \text{Tr}_A [|\phi_0\rangle\langle\phi_0|] &= \langle\uparrow| \{ |\phi_0\rangle\langle\phi_0| \} |\uparrow\rangle_A + \langle\downarrow| \{ |\phi_0\rangle\langle\phi_0| \} |\downarrow\rangle_A = \\ &= \frac{1}{2} \{ |\uparrow\rangle_S \langle\uparrow| + |\downarrow\rangle_S \langle\downarrow| \} = \frac{1}{2} \begin{pmatrix} 1 & 0 \\ 0 & 1 \end{pmatrix} \end{aligned} \right]$$

Coppie di Bell: (z spin- $1/2$)

$$|\psi^\pm\rangle = \frac{1}{\sqrt{2}} (|\uparrow, \downarrow\rangle \pm |\downarrow, \uparrow\rangle)$$

$$|\phi^\pm\rangle = \frac{1}{\sqrt{2}} (|\uparrow, \uparrow\rangle \pm |\downarrow, \downarrow\rangle)$$

stati massimamente
entangled

per ogni stato $|\psi^\pm\rangle$ oppure $|\phi^\pm\rangle$ (4 stati)

$$\Rightarrow \text{Tr}_2 |\psi\rangle\langle\psi| = \mathbb{1}_1 \left(\frac{1}{2}\right)$$

$$|\phi^+\rangle = \frac{1}{\sqrt{2}} (|\uparrow, \uparrow\rangle + |\downarrow, \downarrow\rangle)$$



$$\rho = |\phi^+\rangle\langle\phi^+| = \frac{1}{2} (|\uparrow, \uparrow\rangle + |\downarrow, \downarrow\rangle)(\langle\uparrow, \uparrow| + \langle\downarrow, \downarrow|)$$

$$\begin{aligned} |\uparrow\rangle &\equiv |0\rangle \\ |\downarrow\rangle &\equiv |1\rangle \end{aligned}$$

$$\rho = \frac{1}{2} \begin{pmatrix} 1 & 0 & 0 & 1 \\ 0 & 0 & 0 & 0 \\ 0 & 0 & 0 & 0 \\ 1 & 0 & 0 & 1 \end{pmatrix}$$

stato di Bell
massimamente entangled

è diverso da $\tilde{\rho} = \frac{1}{2} (|\uparrow, \uparrow\rangle\langle\uparrow, \uparrow| + |\downarrow, \downarrow\rangle\langle\downarrow, \downarrow|)$

$$\tilde{\rho} = \frac{1}{2} \begin{pmatrix} 1 & 0 & 0 & 0 \\ 0 & 0 & 0 & 0 \\ 0 & 0 & 0 & 0 \\ 0 & 0 & 0 & 1 \end{pmatrix}$$

stato non è entangled

■ checks numerici:

• Ising 1D in campo trasverso

$$\hat{H} = - \sum_{j=1}^{N-1} \hat{\sigma}_j^z \hat{\sigma}_{j+1}^z - \sum_{j=1}^N \hat{\sigma}_j^x \quad (h=1)$$

$$\rightarrow E_{gs.}(L, h=1) = 1 - \frac{1}{\sin(\frac{\pi}{2(2L+1)})}$$

condizioni al contorno aperte

$$\rightarrow m^x = \frac{1}{\pi} \int_0^\pi \frac{dq}{w(q, h^{-1})} + \frac{1}{h} \cdot \frac{1}{\pi} \int_0^\pi \frac{\cos q dq}{w(q, h^{-1})}$$

limite termodinamico

($L \rightarrow +\infty$)

$$w(q, h) = \sqrt{1 + h^2 + 2h \cos q}$$

$$\left(\text{se } h=1 \quad m^x = \frac{2}{\pi} \right)$$

$$\rightarrow \langle \hat{\sigma}_j^z \hat{\sigma}_{j+1}^z \rangle = \frac{16}{3\pi^2} \quad \text{se } h=1, L \rightarrow +\infty$$